

TECHNIKA CIEPLNA

ORGAN STOWARZYSZEŃ DOZORU KOTŁÓW W POLSCE.

Redaktor: Inż. techn. JAN KOMARNICKI.

Wydawca: Stowarzyszenia Dozoru Kotłów w Polsce.

TREŚĆ: R. Biedrzycki i J. Cybulski, inżynierowie. Badania energetyczne w cukrowni. — Prof. Feszczenko-Czopiński. Blachy kotłów parowych. — A. Gr. Wytwarzanie pary wysokoprężnej według Löfflera. — Sprawozdanie z działalności Stow. Dozoru Kotłów w Warszawie w zakresie kontroli dźwigów na terenie m. st. Warszawy. — Kursy dla palaczy kotłowych Stow. Dozoru Kotłów w Warszawie. — Polemika z powodu artykułu: T. S. W sprawie zmniejszenia kosztów wytwórczości.

SOMMAIRE: R. Biedrzycki et J. Cybulski, ingénieurs. Recherches énergétiques dans une sucrerie. — Prof. I. Feszczenko-Czopiński. Les matériaux de construction des chaudières à vapeur. — A. Gr. La production de la vapeur de très haute pression après Löffler. — La supervision des lifts sur le territoire de la ville de Varsovie. — Les cours pour les chauffeurs des chaudières à vapeur à Varsovie. — POLEMIQUE: A cause de la publication T. S.: La réduction des frais de la production.

R. BIEDRZYCKI i J. CYBULSKI, inżynierowie.

BADANIA ENERGETYCZNE W CUKROWNI.

W czasopiśmie niemieckich z lat ostatnich ukazywały się prace poświęcone sprawie zużycia energii cieplnej i mechanicznej w cukrowniach.

Artykuły wspomniane traktowały te zagadnienia ogólnikowo, nie zawierały danych szczegółowych i nie dawały konkretnych wskazań praktycznych. Poza tym czasopisma zagraniczne nie zawsze bywają dostępne dla szerszych kół naszych techników cukrownianych.

Sądząc z zainteresowania, jakie dla zagadnień energetycznych kierownice sfery przemysłu cukrowniczego przejawiają przypuszczamy, że na czasie będzie przytoczenie dokładnych danych z tego zakresu i dlatego podajemy poniżej wyniki badań, wykonanych w pewnej cukrowni.

Badania te prowadzone były kosztem Charkowskiego Stowarzyszenia Kotłowego przez inż. J. Perkona

(Ryga) i R. Biedrzyckiego (Warszawa) przy współudziale p. Dyrektora C. Nowakowskiego.

1918 17. XII	zmiana	Przerób 6520 ct metr. na dobę		
Sok III saturacji		Syrop	Buraki	
Bx	18,3	Bx	Dygestja	137
Cukr	16,96	Cukr	Sok normalny Bx	18,4
Czyst	90,2	Czyst	Cukr	1501
			Czyst	81,5

Cukrownia „Głobino“ przerabiała do 7000 q, buraków na dobę. Buraki wykazywały niski współczynnik czystości, bo zaledwie 81%, co zależało od lokalnych warunków plantacyjnych i od rodzaju gleby.

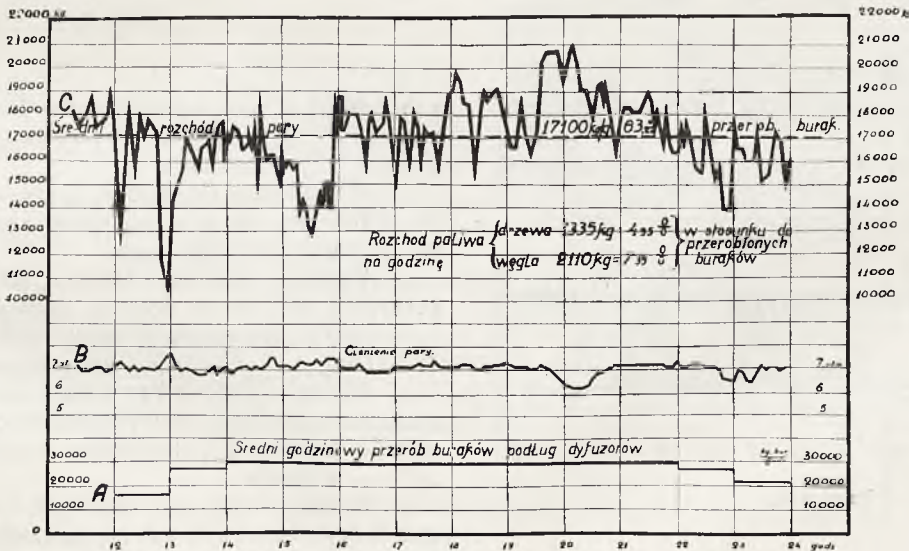
Poszczególne działy fabryki badane były kolejno, a wyniki tych pomiarów podajemy poniżej dla poszczególnych stacyj.

Kotłownia.

Kotłownia posiadała 8 kotłów syst. Fairbairna po 180 m² pow. ogrz., przy ciśnieniu roboczym 8 at.

Sześć z nich posiadało paleniska wdmuchowe na antracyt, dwa pozostałe były wyposażone w przedpaleniska na drzewo.

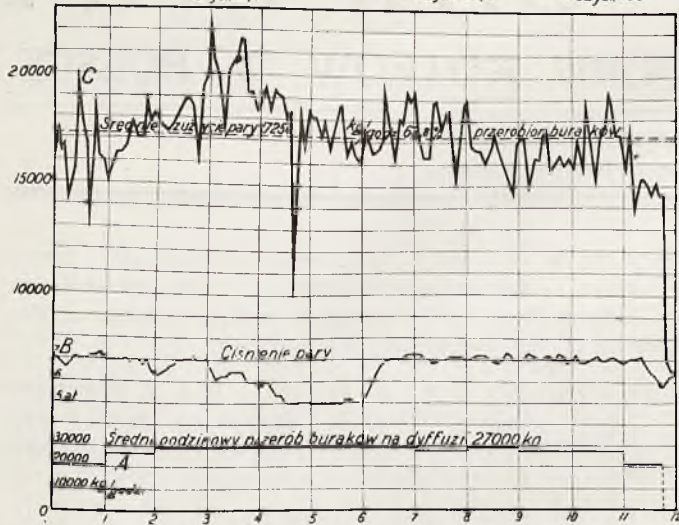
Jeden z sześciu kotłów, przystosowanych do spalania antracytu był stale nieczynny i traktowany, jako



Tablica 1.

Przerób buraków 6560 ctn m na dobę 18.XII.1918r

Buraki	Dyggestja.....13,9	Sok III saturacji	Bx = 18,79	Syrop	Bx = 61,1	
	Sok normalny		Cuk = 13,39		Cuk = 17,08	Cuk = 55
			Czyst. = 81,4		Czyst. = 90,8	Czyst. = 90



Tablica 2.

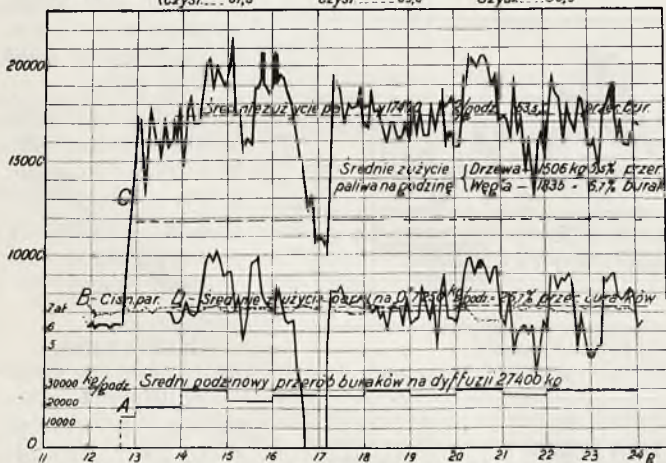
kocioł rezerwowy. Wobec tego stałe pracowało 7 kotłów, o łącznej powierzchni ogrzewalnej $7 \times 180 = 1260 \text{ m}^2$.

Przy dobowym przerobie wynoszącym 7000 q buraków, wypadło na 1000 q przerobionych buraków 180 m^2 czynnej powierzchni ogrzewalnej, względnie około 205 m^2 pow. ogrzewalnej zainstalowanej.

Wyniki badań instalacji kotłowej podane są na trzech tablicach (Tablice 1, 2, 3).

Przerób buraków 6660 ctn m na dobę 18.XII.1918r.

Buraki	Dyggestja.....14,1	Sok III saturacji	Bx.....17	Syrop	Bx.....61,6
	Sok normalny		Cuk.....15,58		Cuk.....55,77
			Czyst.....81,3		Czyst.....90,5



Tablica 3.

Na tablicy 1-ej wskazana jest produkcja pary w okresie 12-o godzinnej zmiany w zależności od rzeczywistego przeciętnego przerobu dobowego wynoszącego 6520 q buraków.

Na tablicy tej widnieją 3 krzywe.

Dolna krzywa A przedstawia ilość przerabianych buraków na godzinę, obliczoną z ilości załadowanych buraków (średnio około 27000 kg na godzinę).

Środkowa krzywa B wskazuje wahania ciśnienia pary w kotłach.

Górna krzywa C przedstawia ilość wyprodukowanej pary przez wszystkie czynne kotły.

Jak widać z wykresu, rozchód pary na godzinę stanowił średnio 17100 kg to znaczy, że 1 m^2 pow. ogrzewalnej wydawał przeciętnie około 13,5 kg pary.

Wahania w odbiorze pary były dość znaczne, dochodziły bowiem do 21000 kg, spadając chwilami do 10000 kg na godzinę.

Rozchód pary w stosunku do wagi przerabianych buraków wynosił 63,2%.

Rozchód paliwa na 1 godz. stanowił: drzewa 1335 kg (4,99% na wagę buraków), antracytu zaś 2110 kg (7,35% na wagę buraków).

Dodać należy, że antracyt był zły ponieważ posiadał znaczną zawartość popiołu.

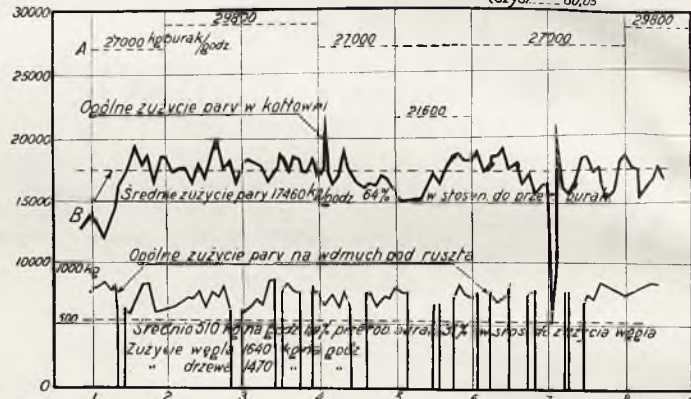
Tablica 2-a przedstawia analogiczne badania przeprowadzone podczas innej zmiany, przy średnim prze-

Zużycie pary na wdmuch pod ruszta

5 kotłów Fairbairna po 180m² z wdmuchem pary pod ruszta

2 " " " z przedpaleniskiem na drzewa

Przerób buraków 6800 ctn m 15.XII.1918roku	Dyggestja.....13,05%	
	Sok normalny	Bx.....18,05
		Cuk.....14,45
		Czyst.....80,05



Tablica 4.

robie 6560 q buraków na dobę i ogólnym rozchodzie pary 17250 kg na godzinę, co stanowiło 63,8% na wagę przerobionych buraków.

Wahania w rozchodzie pary (krzywa C) sięgały do 22500 kg na godzinę jako maximum i 10000 kg na godzinę jako minimum.

Tablica 3-a przedstawia także wykresy przy przerobie dobowym 6660 q buraków.

Przeciętny rozchód pary wynosi tu na godzinę 17400 kg, t. j. 63,5% na wagę buraków.

Na tej tablicy prócz trzech krzywych (A, B i C) podanych również na wykresach poprzednich, widzimy jeszcze krzywą D, ilustrującą rozchód pary na dział „0” — wyparki

Zużycie pary na dział „0” — wyniosło, jak widać z wykresu 7250 kg na godzinę, co stanowi 41,5% ogólnego rozchodu pary wytworzonej w kotłach a w odniesieniu do wagi przerobionych buraków 26,7%.

Tablica 4-a przedstawia badania rozchodu pary na wdmuch pod ruszta palenisk kotłowych.

Podczas przeprowadzania tych pomiarów przerób buraków wynosił średnio 6800 q.

Na tablicy tej górna, łamana linja A przedstawia przerób godzinowy buraków na podstawie ładunków dyfuzorów.

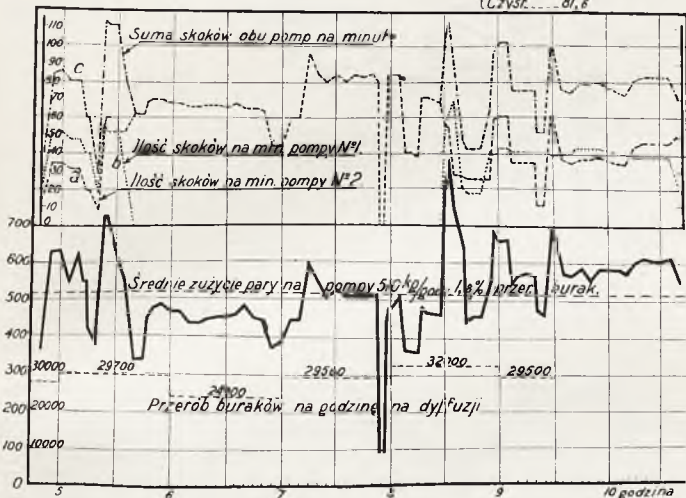
Srodkowa krzywa *B* stanowi charakterystykę ogólnego rozchodu pary z kotłów, który wynosił średnio 17460 kg t. j. 64% na wagę buraków.

Dolna, krzywa, przerywana wskazuje (w innej skali) rozchód pary na wdmuch pod pięć kotłów (z pośród siedmiu pracujących).

Zużycie pary na pompy zasilające kotły
2 pompy Worthingtona, Maki parowe 2×230 φ } S=200 mm
" wodne 2×230 φ }

Przerób buraków 7000 ctn m na dobę
II. XII. 1918r.

Buraki
Dygestia.....14,15 %
Bx.....19,15
Sok normalny } Cuk.....15,63
 } Czysk.....8,6



Tablica 5.

Rozchód ten wyniósł średnio 510 kg na godzinę t. j. 1,9% na wagę buraków, lub 31% na wagę spalnego węgla.

Cała ilość pary używana do palenisk wdmuchowych uchodziła do komina, a więc dla celów fabrykcyjnych nie mogła być użyta.

Krzywe *a* i *b* oznaczają ilości skoków (pojedynczych) dla każdej pompy, krzywa zaś *c* sumę skoków dla obu pomp łącznie.

Jak widać z wykresu początkowo, przez pierwsze pół godziny pracowały dwie pompy, przyczem pierwsza z nich (krzywa *a*) robiła około 35 posuwów, a druga (krzywa *b*) około 50 posuwów na minutę, razem (patrz krzywą *c*) około 80 — 85 posuwów.

Dla próby zatrzymano jedną pompę i ilość skoków drugiej pompy podwyższono do 70, a następnie do 80 na minutę, otrzymano jednak pracę nierówną, wobec czego ponownie uruchomiono obie pompy.

Przeciętny rozchód pary na godzinę na pompy Worthingtona wynosił 510 kg t. j. 1,8% na wagę przerobionych buraków i około 3% wyprodukowanej przez kotły pary.

Para odlotowa z pomp używana była do celów fabrykcyjnych.

Stacja pomp wodnych.

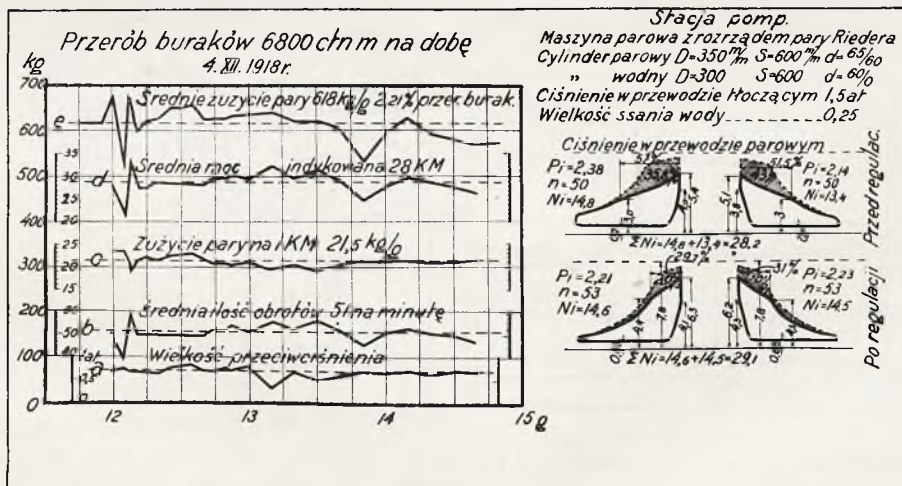
Tablica 6-a przedstawia wyniki badań stacji pomp wodnych przy przerobie dobowym 6800 q. buraków. Pompa wodna główna jest bezpośrednio połączona z maszyną parową.

Maszyna parowa, zaopatrzona była w rozrząd Ridera; średnica cylindra parowego wynosi 350 mm skok 600 mm.

Średnica cylindra wodnego wynosi 300 mm, oczywiście przy tym samym skoku t. j. 600 mm.

Ilość obrotów pompy wynosiła $n = 51$ na minutę (patrz tabl. 6-a, krzywa *b*), a więc wydajność pompy wyrażała się w ilości około 250 m³ na godzinę.

Krzywa *c* przedstawia rozchód pary na pompę w okresie badania i jak widać z wykresu zużycia pary stanowiło średnio 618 kg na godzinę, co wynosi 2,21% w odniesieniu do wagi przerabianych buraków.



Tablica 6.

Tablica 5-a podaje wyniki badania pomp zasilających kotły.

Czynne były dwie pompy Worthingtona o wymiarach cylindrów parowych — 2 × 230 (średn.) cylindrów wodnych — 2 × 190 (średn.) i o skoku 200 mm.

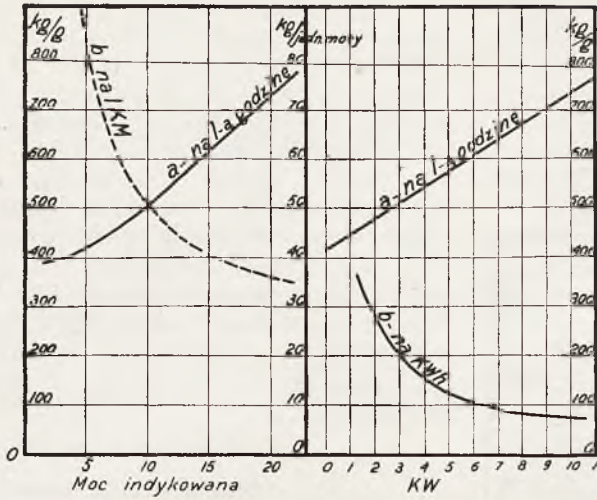
Krzywa *d* (druga od góry) charakteryzuje wahania mocy indukowanej. Średnio wymagała praca pompy 28 *KMi*, t. j. 4,225 *KMi* na 1000 q. buraków przerabianych na dobę.

Z krzywej *e* odczytać można rozchód pary na 1 *KMi* — średnio wynosił on 21,5 kg.

Stacja elektryczna

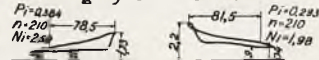
Przerób buraków 6600 ctn m na dobę 10. VII. 1918.

Krzywe zużycia pary

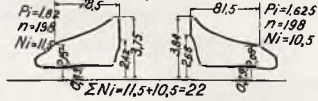


Maszyna parowa suwakowa
 $D=250$ $S=300$ $d=50\%$ $n=200$
 Dynamo Lameyer $115V \times 174A$

Bieg dynamo luzem



Normalne obciążenie 115V×92A



Srednie zużycie pary 650 kg/d
 2,4% w stosunku do przer. burak.

Tablica 7.

Krzywa *b* jak już wspomniano wyżej, oznacza średnią ilość obrotów na minutę, wreszcie krzywa *a* wykazuje wielkość przeciwcisnienia.

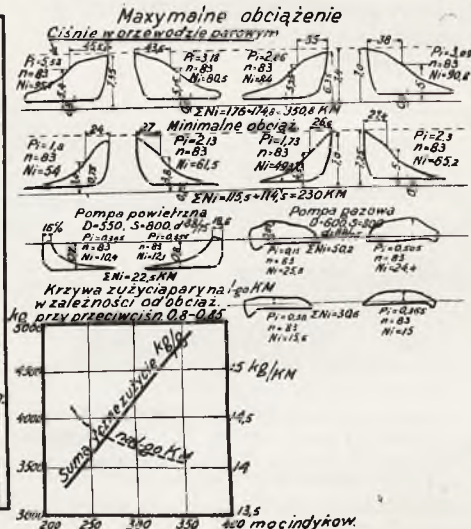
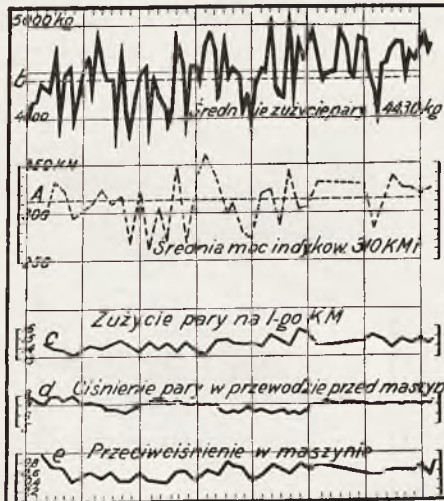
Z prawej strony na opisywanej tablicy 6-ej umieszczone są wykresy, z których rząd górny przedstawia początkowy stan pracy maszyny przy dużym napełnie-

Mimo to, że zmniejszenie napełnień daje oszczędność w zużyciu pary, przekładano pracę mniej ekonomiczną przy ustawieniu rozrządu na większe napełnienia, ażeby mieć większą skalę w możliwej regulacji wydajności pompy. Dla wyjaśnienia dodać należy, że w zależności od zapotrzebowania wody regulowano

Zużycie pary na centralną maszynę parową z rozrządem pary Proell'a

 $D=2 \times 500$ $S=800$ $d=93/88$ $n=84$

10. VII. 1918



Tablica 8.

niu i znacznym dławieniu pary na przewodzie przy pomocy zwykłego nastawnego wentyla parowego.

Dolny rząd wykresów przedstawia pracę tej samej maszyny po odpowiednim ustawieniu rozrządu, polegającym na zmniejszeniu napełnienia.

Jak widać, w drugim wypadku, straty wynikłe z dławienia pary (powierzchnie kreskowane na wykresie) są mniejsze.

ilość obrotów pompy przez większe lub mniejsze dławienie pary dołotowej co wykonywano ręcznie przy pomocy zawora wlotowego.

Stacja elektryczna (tablica 7-a).

Stacja elektryczna składała się z maszyny parowej suwakowej o następujących wymiarach:

średnica cylindra — 250 mm
 skok — 300 mm
 ilość obrotów — 200 na minutę

oraz z dynamo na prąd stały 115 V i 174 A.

Wykresy górne na tablicy 7-ej dotyczą jałowego biegu maszyny, co daje 4,57 *KMi*.

Przy pełnym obciążeniu 92 A maszyna rozwija 22 *KMi* (patrz dolny szereg wykresów).

Z lewej strony tablicy 7-ej widzimy dwa wykresy.

Wykres 1 obrazuje rozchód pary, obliczony w stosunku do mocy indykowanej, a mianowicie:

Wymiary maszyny są następujące:

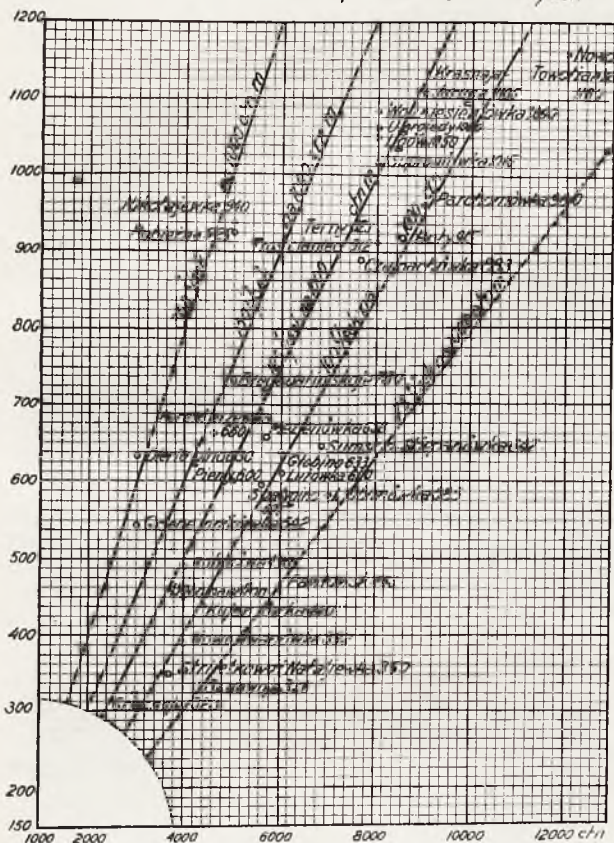
Średnice cylindrów 500 mm, skok 800 mm, ilość obrotów 84 na minutę.

Wykresy z prawej strony tablicy 8-ej u góry (szereg pierwszy) charakteryzują pracę maszyny parowej przy pełnym obciążeniu.

Drugi szereg wykresów wskazuje pracę maszyny przy obciążeniu zmniejszonym (napęd transmisji, pompy powietrznej i gazowej oraz pomp sokowych).

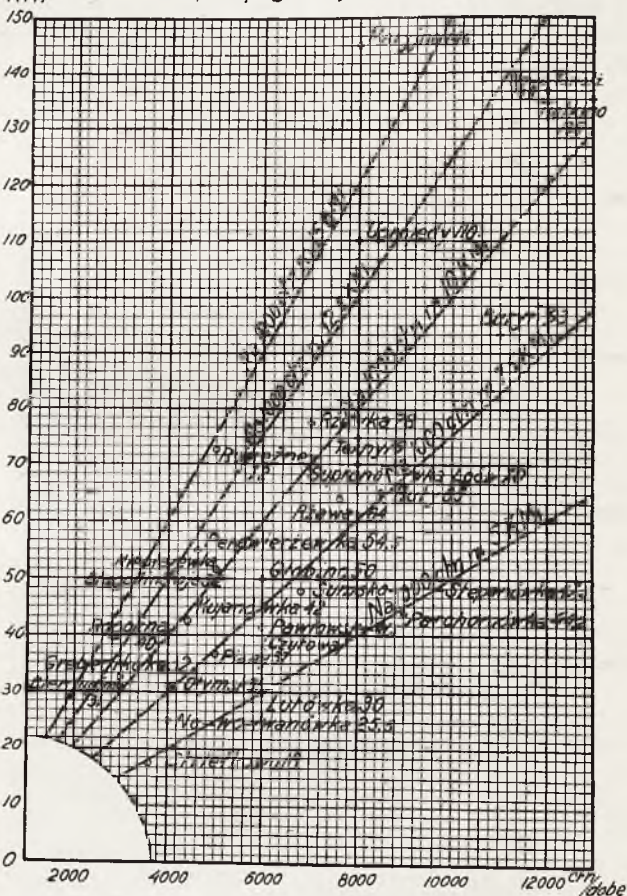
Przy przeciętnym przerobie 6650 q. buraków na dobę średnia moc indykowana stanowiła 310 *KMi* t. j.

Objętości Mokowe pomp gazowych w m³/sek



Tablica 9.

Praca pomp gazowych w *KMi*



Tablica 10.

krzywa *a* daje rozchód pary na całą maszynę na godzinę.

krzywa *b* rozchód pary na *KMi*.

Wykres II przedstawia rozchód pary w odniesieniu do obciążenia elektrycznego, a więc

krzywa *a* całkowity rozchód pary na godzinę

krzywa *b* rozchód pary na *kWh*.

Na podstawie wykresów obciążenia dziennego i nocnego obliczony został przeciętny rozchód pary w ciągu doby, wyrażający się w cyfrze 650 kg na godzinę, co stanowi 2,4% w odniesieniu do wagi przetwarzanych buraków.

Centralna maszyna parowa (tablica 8-a).

Cała energia mechaniczna potrzebna do napędu maszyn i urządzeń w cukrowni dostarczana jest przez centralną, bliźniaczą maszynę parową.

47,5 *KMi* na 1000 q. buraków na dobę (krzywa *A*). Dodając do powyższego pracę pompy wodnej, która wynosiła 4,225 *KMi* otrzymamy moc maszyn wyrażającą się średnio przez 51,725 *KMi* na 1000 q.

Wahania mocy rozwijanej przez maszynę stanowiły: minimum 265 *KMi*, a maximum 360 *KMi*.

Średni rozchód pary na maszynę centralną charakteryzuje krzywa *b* tablica 8-a. Wyraża się on w cyfrze 4430 kg.

Krzywa *c* obrazuje rozchód pary na 1 *KMi*, który wynosił około 14,3 kg.

Krzywa *d* przedstawia zmiany ciśnienia pary dółkowej (w przewodzie przed maszyną), krzywa zaś *e* — ciśnienie pary odlotowej.

Wykres IV wskazuje zależność pomiędzy obciążeniem maszyny, a rozchodem pary, przyczem linja *A* oznacza całkowity rozchód pary przy zwiększającym się obciążeniu, krzywa zaś *B* rozchód pary na 1 *KMi*

Zbyt wielka pompa pochłania niepotrzebnie energje napędową. Zdarza się często, że moc zużywana przez pompy gazowe wzrasta. Przyczyną bywa zanieczyszczenie przewodów tłoczących, lub barboterów

Tablica 10-a stanowi zestawienie mocy indykowanej pomp gazowych całego szeregu cukrowni.

Na osi rzędnych tego wykresu oznaczona jest moc indykowana, na osi odciętych przerób dobowy.

Każda z linii prostych (charakterystyk) wskazuje ile *KMi* powinna zużywać pompa gazowa przy danym przerobie, o ile przyjąć z góry dla każdej charakterystyki ilość *KMi*, które są potrzebne dla przerobu 1000 q.

Z powyższej tablicy widać np., że cukrownia Striełki, Lutówka, Parchomowka zużywają około 5 *KMi* na 1000 q., wtedy gdy np. Rubieżnoje zużywa blisko 15 *KMi*, a Marjino jeszcze więcej.

Tablica 11-a i 12-a dotyczą pomp powietrznych, przyczem tablica 11-a wykazuje zależność pomiędzy objętością pompy powietrznej a przerobem.

Jak widać szereg fabryk, jak np. Pawłowska, Parchomowka, Czupachowka zadawalniają się 50 l/sek. na 1000 q., wtedy gdy Nataljewka, Striełki, Mikołajewska ma objętość pomp około 200 l/sek., a Dieriu-gino i Mikołajewska jeszcze więcej.

Z tych wykresów można również określić czy przy przebudowie cukrowni, istniejąca pompa powietrzna wystarczy.

Tablica 12 wykazuje zależność między przerobem, a mocą indykowaną dla pomp powietrznych.

Moc ta zależna jest oczywiście od wielkości pompy, intensywności pracy IV działu, jak również, a może najwięcej, od szczelności przewodów i aparatów.

Z tablicy widać, że szereg fabryk jak np. Czutowka, Nowotawoźzanka mają około 3 *KMi* na 1000 q., wtedy gdy np. Krupieński, Striełkowski mają około 9 *KMi*, Mikołajewska, Dieriu-gino powyżej 20 *KMi*.

(d. c. n.)

I. FESZCZENKO-CZOPIWSKI, prof. Akad. Gór. w Krakowie.

BLACHY KOTŁÓW PAROWYCH.

Por. *Technika Ciepłna* 1926 str. 26.

§ 5. W celu nadania ostatecznej postaci i odpowiednich wymiarów poddaje się zlewki mechanicznej obróbce (walcowaniu) przy wysokich temperaturach. Warunki w których to walcowanie się odbywa wpływają na materiał w bardzo wysokim stopniu. Umówimy się przytem, by używać określenia „stopień obróbki“ podczas walcowania jako zmniejszenie poprzecznego przekroju w procentach pierwotnego przekroju.

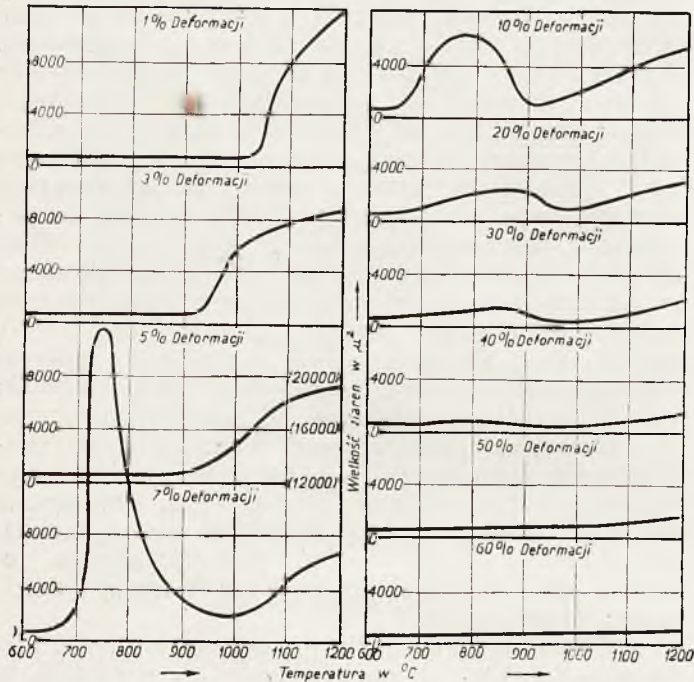
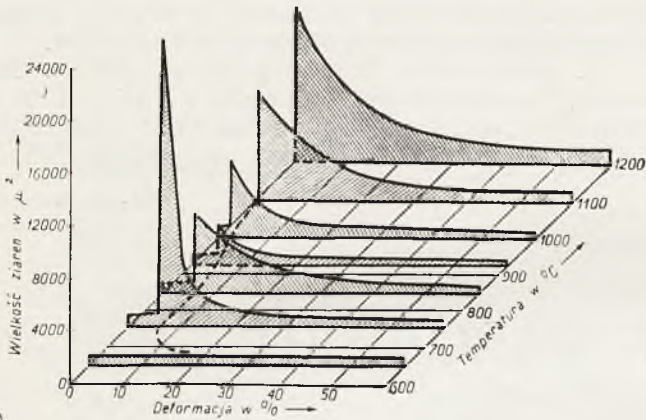
Okazuje się, że bardzo mały stopień obróbki przy najwyższych temperaturach walcowania (1100° — 1200°) wywołuje silne rozrastanie się ziaren; po ochłodzeniu materiał staje się gruboziarnistym, posiadającym wszystkie wady wynikające z tego stanu (osłabienie ciągliwości, zwiększenie łamliwości). Odwrotnie wielkie stopnie obróbki przy tych wysokich temperaturach walcowania powodują w swem następstwie stosunkowo drobnoziarnistą bndowę metalu, odznaczającą się większym stopniem ciągliwości (rys. 1). Małe stopnie obróbki do 1% przy 1000° walcowania, a do 6,5% przy umiarkowanej temperaturze walcowania około 750°, względnie do krzywej kropkowanej na rys. 1 nie wywołują żadnego wpływu na dalszy rozrost ziaren podczas ochładzania metalu po zakończeniu takiej stosunkowo słabej obróbki. Jednak każda z tych temperatur walcowania posiada określony dla danego materiału, stały „krytyczny“ stopień w zakresie małych stopni obróbki, po przekroczeniu którego, choćby nieznanym nawet, dostaje się metal w zakres następnego gwałtownego wzrostu ziaren. Maksymalny skutek zauważyć można przy temperaturze walcowania około 750°, minimalny zaś przy 950°. Przy temperaturze walcowania około 650° nie spostrzeżono praktycznie żadnego późniejszego rozrastania się ziaren. W miarę zwiększania temperatury walcowania zmniejsza się ten bezwładny zakres małych stopni obróbki, przy temperaturze 750° osiąga on wartość 6,5%, przy 1100° bardzo nieznaczne stopnie obróbki znacznie mniejsze od jednego procentu powodują następne gwałtowne rozrastanie się ziaren. Z drugiej strony największy zakres takich gwałtownych wzrostów

przypada na temperaturę walcowania — 925° przy 6,5 do 10,0% stopni obróbki) i rozszerza się w miarę podwyższenia lub obniżenia temperatur walcowania. Wyższe stopnie obróbki dają coraz to mniejsze średnie rozmiary ziaren. Stąd wynika, że jakiś stosunkowo wysoki stopień obróbki (około 30%) zabezpiecza w następstwie przy wszystkich temperaturach walcowania od możliwości rozrastania się ziaren, chociaż wszystkie te ziarna będą tem większe, im przy wyższej temperaturze zakończono walcowanie. Rys. 1 — w dolnej swej części przedstawia krzywe rozrastania się ziaren w zależności od temperatury końcowej walcowania dla następujących stopni obróbki: 1, 3, 5, 7, 10, 20, 30, 40, 50, 60%. Na tej podstawie można zrobić następujące wywody: 1) Słabe stopnie mechanicznej obróbki na gorąco nie są wskazane w praktyce fabrycznej, 2) minimalnym jednorazowym skutkiem przy temperaturach powyżej 950° — 1000° nie powinien być stopień obróbki mniejszy od 10 — 15%. Im wyższą jest temperatura walcowania, kucia, tem niebezpieczniejsze są małe stopnie obróbki mechanicznej na gorąco i tem silniejsze powinny być maszyny (walce, prasy, młoty i t. d.).

Odwrotnie, jeśli badamy przebieg zależności rozrastania się ziaren od zmniejszenia stopnia obróbki, to dochodzimy do pewnej krytycznej temperatury (gwałtownego rozrastania), poniżej której nie można zaobserwować wzrostu ziaren. W ten sposób krytyczny stopień obróbki mechanicznej na gorąco oznacza dolną granicę, powyżej której uzyskuje metal zdolność do następnej rekrytalizacji (patrz dalej § 12).

Zakres temperatur, w którym odbywa się mechaniczna obróbka (kucie, walcowanie), a również i sposób następnego ochładzania wpływa, według prof. *P. Oberhoffer'a* na rozmiar ziaren miękkiego żelaza zawierającego: *C* — 0,10, *Mn* — 0,40%, *Si* — 0,02%, *P* — 0,012%, *S* — 0,024% (stopień obróbki 75%) tak, jak to pokazano na rys. 2, przyczem № 1 odnosi się do próbki, którą po zakończeniu kucia przy odpowiedniej temperaturze ochładzano zwolna w piasku;

№ 2 — odnosi się do takiej samej próbki ochłodzonej szybko na powietrzu; № 3 — odnosi się do próbki, którą niezależnie od temperatury kucia normalizowano przez ponowne wyżarzanie przy 900°, a następnie wolno studzono. № 4 — dotyczy próbki niekutej wyżarzonej przy odpowiedniej temperaturze i powoli studzonej; № 4-a — dotyczy tak samo niekutej próbki wyżarzonej przy odpowiedniej temperaturze lecz szybko studzonej. № 5 — wreszcie podaje próbkę, którą zakończono kuć przy 850° a następnie szybko ochł-



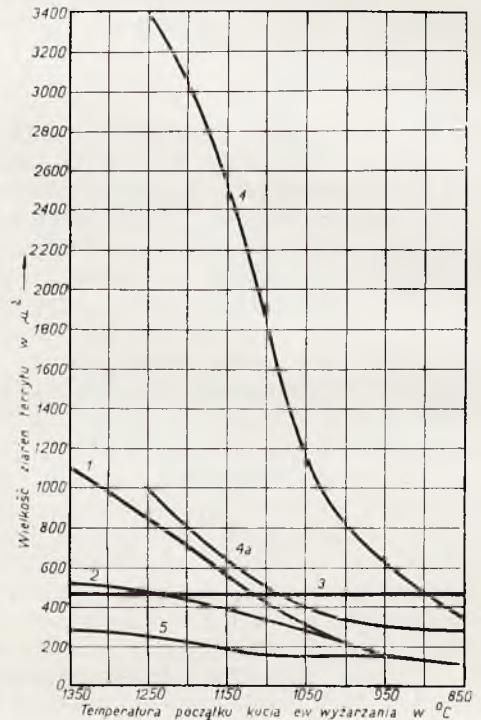
Rys 1.

dzono. Stąd wyraźnie wynika, że obróbka mechaniczna zwłaszcza przeprowadzona przy umiarkowanych temperaturach zwiększa znacznie wytrzymałość, twardość, nieco zmniejsza ciągliwość, a dalsze zmiany wytrzymałościowych właściwości zależą oprócz tego w znacznym stopniu od następnego sposobu obróbki termicznej. Te wszystkie zmiany zachodzą w ścisłej i zgodnej zależności od wielkości ziarna danego materiału, (por. rys. 3).

Sykes podaje następującą zależność wytrzymałości od wielkości ziarna dla stali molibdenowych:

Pojedynczy kryształ wykazał wytrzymałość 22,4 kg/mm²
 Kryształ o przeciętnej średnicy 0,028 m/m 35,7
 " " " " 0,005 m/m 67,2

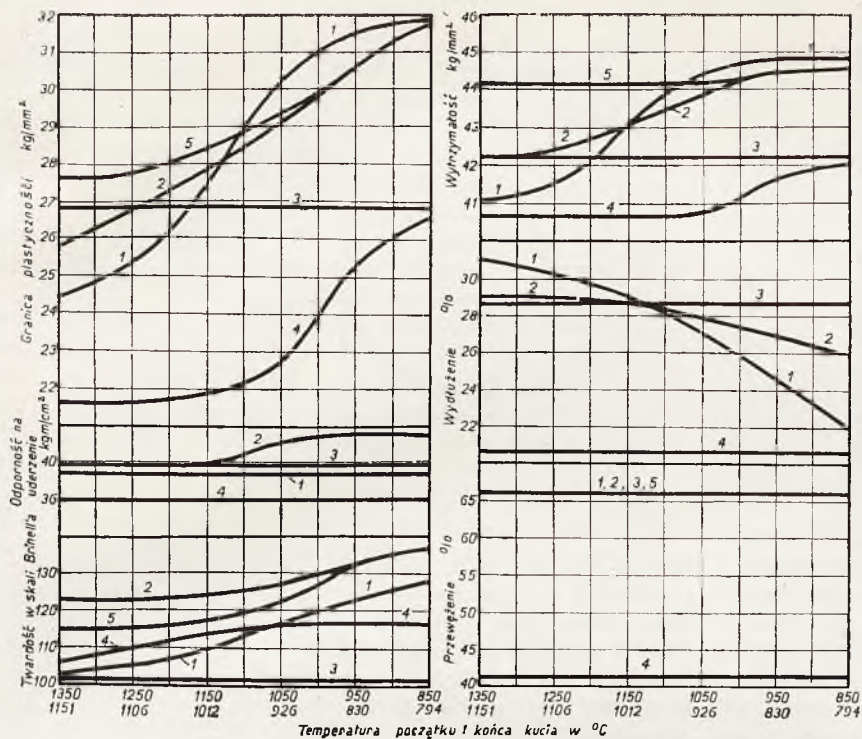
§ 6. Przewalcowane do wymaganej grubości blachy kotłowe z żelaza miękkiego, zlewne rzadko poddaje się jakiegokolwiek dopełniającej obróbce termicznej. Chociaż obróbka termiczna jest bardzo pożądana dla zwykłego miękkiego kotłowego żelaza a konieczną dla blach ze stali stopowych, (niklowych i t.p.). W praktyce jednak w celu zmniejszenia kosztów wytworu wyżarzanie do niedawnych czasów rzadko było stosowane. Z punktu widzenia bezpieczeństwa i w celu przedłużenia służby materiału możnaby polecić poprzedzający proces ulepszenia, który dla zwykłych blach kotłowych sprowadza się do następujących dwóch procesów: 1) ogrzewanie blach do temperatury 900° — 920° i bezpośrednie hartowanie ich w wodzie letniej, a w oleju dla stopowych gatunków blach i 2) odpuszczanie takich blach do 650°. Zresztą o tym sposobie ulepszenia pozwolimy sobie szczegółowiej powiedzieć później.



Rys. 2.

§ 7. W dalszym ciągu podlega blacha kotłowa szeregowi operacji, które noszą ogólne miano „obróbki na zimno“. Materiał doznaje przy tem całego szeregu odkształceń, powodujących pewne zmiany w jego fizycznych, a przede wszystkim w mechanicznych właściwościach: wzrasta jego wytrzymałość, twardość, elastyczność, zmniejsza się ciągliwość, materiał doznaje pewnego całkowitego lub miejscowego umocnienia, jednym słowem metal „zgnięta się“.

Rys. 4 wyjaśnia wpływ zgniotu na mechaniczne właściwości miękkiego żelaza (C — 0,1%), według H. Alpeyera. Lecz najgorzej dla blach kotłowych i ich następnej służby jest to, że ze zwiększeniem stopnia zgniotu na zimno zwiększa się kruchość materiału (pojęcie odwrotne do ciągliwości), a z tego po-

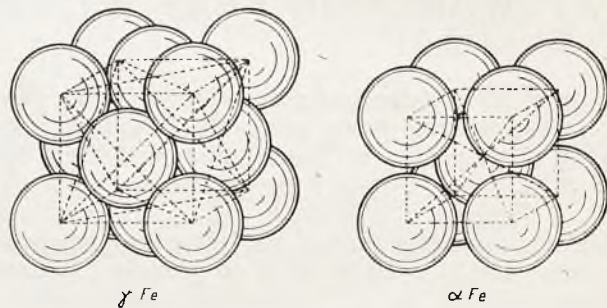


Rys. 3.

rami i indywidualnymi właściwościami budowy samego atomu.

Żelazo będące w postaci alotropowej odmiany α , magnetycznej, nie zdolnej do zatrzymania węgla w roztworze stałym, trwałe przy temperaturach niższych od 900° posiada przestrzenie centryczny układ sześcienny, w którym ośm atomów znajduje się na narożach danego sześcianu a dziewięć i ostatni w jego geometrycznym środku. Żelazo przy temperaturach powyżej 900° znajduje się w alotropowej odmianie γ , niemagnetycznej, będącej w stanie zatrzymać w roztworze stałym do 1,7% węgla, posiadającej podobnie do α układ sześcienny lecz już płaskocentryczny, w elementarnym układzie którego oprócz ośmiu atomów na narożach sześcianu znajduje się jeszcze dalszych 6 w geometrycznych środkach jego bocznych ścian (por. rys. 5).

Metal składa się z gromady nieregularnie obok siebie ułożonych kryształów*); każdy kryształ posiada własną orientację, odmienną od innych, a konglomerat nieuporządkowanych kryształów nie wykazuje jakiegokolwiek określonej orientacji wspólnej dla wszystkich kryształów. Każdy kryształ posiada inny opór wobec sił zewnętrznych, w zależności od kierunku działania. Pod wpływem odkształceń występują w każdym kryształach stałe, zależne od typu

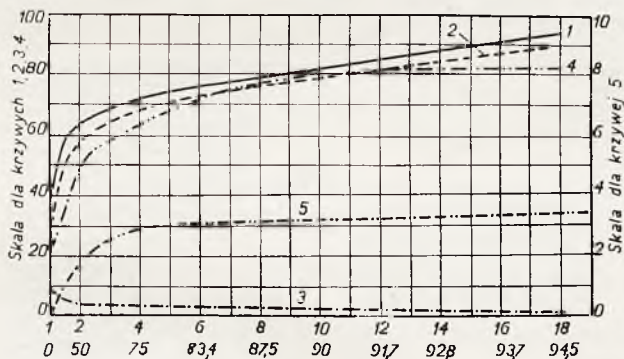


Rys. 5.

siatki przestrzennej, płaszczyzny tak zwanych „najmniejszych oporów“ (płaszczyzn łupliwości), po których odbywają się wzajemne przesunięcia pewnych części kryształów (kryształów) (rys. 6). Tego rodzaju odkształcenia plastyczne odbywają się przy pomocy poślizgu wzdłuż wyżej wspomnianych stałych płaszczyzn poślizgu (wyżej — płaszczyzny najmniejszego oporu, płaszczyzny łupliwości). Obrazowo można porównać mechanizm ślizgania w kryształach pod wpływem sił zewnętrznych z tem ślizganiem, jakie powstaje w talji kart, ślizgających się jedna po drugiej pod naciskiem palca.

Plastyczność metali jest bezpośrednio związana z ich zdolnością do tworzenia płaszczyzn poślizgu. W miarę wzrostu stopnia obróbki występuje powolny obrót kryształów do pewnego położenia symetrycznego, zależnego od: 1) kierunku sił odkształcających, 2) od natury siatki przestrzennej. Nowe to położenie okazuje największy opór siłom ścinającym. Wytwarza się przy tem zmiana orientacji w poszczególnych kryształach

wodu materiał staje się łamliwym. Wprawdzie wyżarzanie odpowiednie przywraca zgniecionemu materiałowi jego pierwotne właściwości i proces ten odbywa się stopniowo w miarę zwiększenia temperatury wyżarzania (rys. 4) a czas wyżarzania działa w tym samym kierunku, t. j. dąży do przywrócenia zgniecionemu żelazu stanu pierwotnego, jednak każdej temperaturze odpowiada pewne optimum; przedłużenie procesu odpuszczania poza to optimum działa nie ekonomicznie.

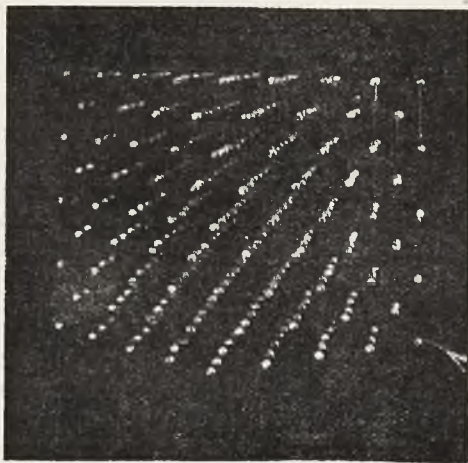


Rys. 4.

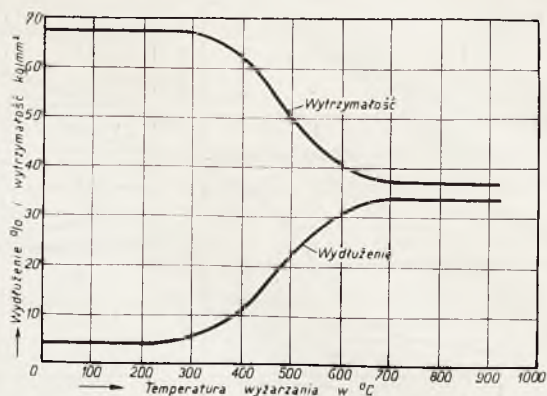
§ 8. Co jest przyczyną powodującą podobne zmiany we właściwościach żelaza podczas jego obróbki na zimno i podczas następnego wyżarzania?

Każdy metal jest zbiorowiskiem kryształów; poszczególne kryształy zbudowane są z elementarnych krystalograficznych układów o najprostszym ułożeniu atomów a różnią się pomiędzy sobą: 1) postacią elementarnego krystalograficznego układu, 2) ilością atomów symetrycznie rozmieszczonych w danym elemencie zgodnie z jego charakterem krystalograficznym, 3) geometrycznymi wymiarami wyobraźalnej siatki przestrzennej (międzyatomowymi odstępami), 4) wymia-

*) Patrz mój artykuł „O budowie metali i stopów metalowych“ Przegl. Gór. Hut. 1925, 181, 222, 270.



Rys. 6.



Rys. 7.

i krystalitach. Ponieważ wszelkie przesunięcia w krystalicznym agregacie odbywają się wzdłuż ściśle określonych płaszczyzn siatki przestrzennej, to już przy słabych odkształceniach zachodzi rozszczepienie kryształu na cieniutkie warstewki zdolne do ślizgania. W miarę wzrostu stopnia obróbki na zimno zachodzi delikatne sfałdowanie (zakrzywienie) płaszczyzn ślizgania, i z tego powodu zmniejsza się coraz bardziej zdolność

metalu do dalszego poślizgu. Zasada zatem umocnienia metali polega na takim hamowaniu (zaklinowywaniu) płaszczyzn ślizgania przez obróbkę na zimno. Przy wyższych stopniach obróbki na zimno mogą zająć w siatce przestrzennej metalu miejscowe zaburzenia, skutkiem tego powstaje rozbitcie kryształu na drobniejsze części — okruchy (krystality).

(d. c. n.)

WYTWARZANIE PARY WYSOKOPRĘŻNEJ WEDŁUG LÖFFLERA.

(por. Engineering, r. 1925, str. 475)

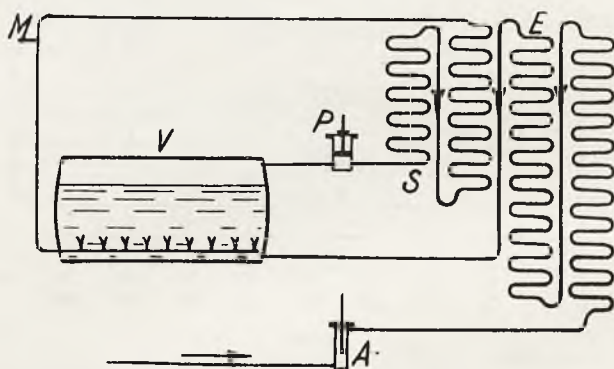
Metoda wytwarzania pary wysokoprężnej, zaprojektowana przez profesora Wyższej Szkoły Technicznej w Charlottenburgu Löfflera, opracowana została szczegółowo w Wiedeńskiej Fabryce Parowozów we Florisdorfie pod Wiedniem. Instalacja próbna na 100 kWh pracuje pod ciśnieniem 100 at i jest w ruchu od grudnia 1924 roku. Obecnie znajduje się w przebudowie stacja, obliczona na 900 kWh. Projektowane są parowozy dla pociągów pośpiesznych o mocy 2000 KM przy ciśnieniu 120 at, a stacja w kopalniach Zakładów Witkowickich o mocy 18000 kWh przystosowywana jest do pomysłów Löfflera. Ciekawe informacje o szczegółach nowego pomysłu pochodzą od prof. A. Riedlera, który brał udział w szeregu doświadczeń.

Charakterystyczną cechą pomysłu Löfflera jest okoliczność, że zawarta w paliwie energia cieplna przetwarza wodę na parę przy pomocy zespołu podgrzewaczy i przegrzewaczy, podczas gdy kocioł właściwy nie znajduje się w sferze ognia. Wytwarzanie pary w kotle odbywa się kosztem pary przegrzanej, wtłaczanej do kotła przez odpowiedni przewód. Ciśnienie panujące w tym przewodzie jest wyższe od ciśnienia w kotle, wobec czego do odprowadzenia wytworzonej w kotle pary do przegrzewacza należy stosować specjalną pompę. Ogólny schemat takiej instalacji przedstawia rys. 1.

Pompa zasilająca A tłoczy wodę przez podgrzewacz E do kotła V. Z początku parę wytwarzamy w małym kotle pomocniczym i przetłaczamy ją pompą P do przegrzewacza. Z przegrzewacza para wchodzi do kotła przechodząc przytem przez wodę, jak wskazuje rys. 1. W kotle powstaje para, którą przetłaczamy do

przegrzewacza, skąd powraca ona do kotła z powrotem i zwiększa ilość pary w obiegu.

Gdy ciśnienie i temperatura w kotle dojdzie do potrzebnej wysokości doprowadzanie pary pomocniczej ustaje i dalsze wytwarzanie pary odbywa się już wyłącznie dzięki parze wtłaczanej do kotła z przegrzewacza.



Rys. 1.

Dodatnią cechą takiego zespołu stanowi okoliczność, że przegrzewanie i wytwarzanie pary odbywa się w oddzielnych aparatach co pozwala na stosowanie kotłów o dużej pojemności do wytwarzania pary do 100 at i więcej ciśnienia a więc na uzyskanie zalet pary przegrzanej wysokoprężnej nie uciekając się w tym celu do skomplikowanych kotłów rurowych o małej pojemności. Ponadto cyrkulacja wody w kotłach rurowych zależy od różnicy ciężaru właściwego gorącej i zimnej wody. Cyrkulacji tej prze-

szkaza wydzielanie się pęcherzyków pary i osadów, co może spowodować miejscowe przegrzania ścianek. W zespole Löfflera osady powstawać mogą jedynie w kotłach i nie mogą stać się niebezpieczne. Wydzielanie się osadów powiększa nawet izolację cieplną kotła. Kocioł ten znajduje się pod wysokim ciśnieniem, lecz temperatura jego pozostaje prawie niezmienna a naprężenia termiczne wobec tego, że usunięty jest ze sfery ognia są minimalne.

Kotły i maszyny parowe, przeznaczone do pracy pod ciśnieniem 100 at nie mogą być budowane według starych wzorów. Należy rozstrzygnąć nowe zagadnienie, które polega na tym, jakie normy wytrzymałości, współczynniki wydłużenia i jakie konstrukcje mogą tu znaleźć zastosowanie. Do rozstrzygnięcia prowadzą badania, przeprowadzone w warunkach normalnej pracy instalacji tego typu. Badania laboratoryjne nie wystarczają. Do badań zastosowano dużą pompę tłokową, którą można było zastąpić mniejszą pompą osrodkową. Pompa tłokowa wymaga uszczelnienia tłoka i t. p. tak jak tłokowa maszyna parowa i praca jej jest w tym wypadku zupełnie analogiczna. Praca takiej pompy nie jest zbyt ciężka, gdyż przewycięża ona jedynie różnicę ciśnień, pracuje zato stale pod bardzo wysokim ciśnieniem absolutnym. W podobnych warunkach znajdują się przewody parowe, wymagające specjalnych uszczelnień. Liczba obrotów

pompy waha się w znacznych granicach i dochodzi do 230 na minutę. Doświadczenia nie nastęczyły żadnych większych trudności. Para przegrzewana była od 450° do 500°C a nawet do 600°C. Przy spadku temperatury z 600° do 450° nastąpiło parowanie, czemu jednak zaradzono bez większych trudności. Większość doświadczeń nie trwała dłużej nad 6 do 9 godzin.

Rozpoczynając badania przy zimnej wodzie dochodzono do pełnego ciśnienia w ciągu 1½ godziny, poczem wyłączano kocioł pomocniczy. Dla łatwiejszego regulowania przegrzania stosowano paliwo płynne (ropa naftowa). Inżynier kierujący doświadczeniami rozporządzał kompletem wskaźników elektrycznych, zmontowanych na osobnej tablicy i wskazujących wszystkie potrzebne dane. Wskazywały one poziom paliwa, zużycie paliwa, poziom wody, ciśnienie pary przed i za przegrzewaczem, temperaturę w różnych miejscach, zawartość CO i CO₂ w gazach spalinowych. Temperaturę mierzono zapomocą termoelementów i przyrządów rozszerzalnych. Obie kategorie przyrządów dały jednakowe wyniki. Specjalne przyrządy miernicze i paromierze zbudowane były w wytwórni *Siemens & Halske* na podstawie wskazówek prof. Löfflera. Sam kocioł dostarczyła wytwórnia *Düsseldorf-Reisholz* również na podstawie projektu prof. Löfflera. Walczak kotła był prasowany ze stali specjalnej i wzmocniony zapomocą odpowiednich ukotwień.

A. Gr.

SPRAWOZDANIE Z DZIAŁALNOŚCI STOW. DOZ. KOTŁÓW W WARSZAWIE W ZAKRESIE KONTROLI DŹWIGÓW W M. ST. WARSZAWIE.

Od maja roku 1925 do 1-go lutego 1926 roku Stowarzyszenie skontrolowało stan bezpieczeństwa 622 dźwigów w m. st. Warszawie, z których:

1) 161 dźwigów łąda chwila groziło bezpieczeństwu jeżdżących, i ruch tych dźwigów został zawieszony do czasu wykonania zaleconej fachowej naprawy.

2) 386 dźwigów uznano za możliwe pozostawić w stanie czynnym z warunkiem jednak spełnienia zaleconej niezbędnej naprawy w oznaczonym terminie.

3) 75 dźwigów znaleziono w stanie zupełnie bezpiecznym, co stanowi zaledwie 12 proc. ogólnej liczby dźwigów skontrolowanych.

Oprócz tego dokonano 234 powtórnych oględzin dźwigów dla sprawdzenia zaleconej naprawy.

Kontrola wykazała następujące wady i uszkodzenia sprawdzonych dźwigów:

1) Kompletnie zużycie się i popękanie znacznej ilości poszczególnych drutów w linach nośnych a nawet całych pokrętek . . . przy 110 dźwigach	
2) Znaczne zużycie lin	93 "
3) Niedziałanie aparatu klinów, zatrzymujących kabinę na prowadnicach na wypadek zerwania się lin	125 "
4) Wadliwe działanie hamulca dźwigu	16 "
5) Zdarcie się przekładni ślimakowej	13 "
6) Nadmierne zużycie panewek kół linowych	6 "
7) Zupełny brak zamków bezpieczeństwa przy drzwiach ogrodzenia szybu	14 "
8) Zupełny brak kontaktów elektrycznych przy drzwiach	84 "

9) Brak podestu oddzielającego szyb dźwigu od kół linowych górnej konstrukcji	47 "
10) Obluzowanie się sprzęgła motoru ze ślimakiem	21 "
11) Niewłaściwy sposób umocowania lin	19 "
12) Niedziałanie mechanizmu zamków automatycznych, lub kontaktów elektrycznych, przy niektórych drzwiach ogrodzenia	63 "
13) Wadliwe urządzenie światła w kabine	234 "
14) Brak urządzenia sygnalizacji alarmowej lub nieczynności takowej	262 "
15) Nieodpowiednie zabezpieczenie motoru elektrycznego i elektromagnetycznych aparatów dźwigu przez naprawę korków i pasków bezpiecznikowych zwykłym drutem nieokreślonej, a nadmiernej mocy	296 "
16) Brak szkła, lub siatki w otworach świetlnych szybu	17 "
17) Kabel doprowadzający prąd elektryczny do kabiny nieodpowiednio zabezpieczony od uszkodzeń mechanicznych	9 "
18) Brak przepierzenia między szybem przeciwwagi chodzącej bez prowadnic w jednym szybie z kabiną	14 "
19) Uszkodzone kontakty wewnątrz szybu, wyłączające motor w razie przejścia kabiny poza punkty krańcowe	11 "
20) Niedziałanie przycisku (stój) zatrzymującego kabinę w dowolnem miejscu	19 "

KURSY DLA PALACZÓW KOTŁOWYCH STOW. DOZ. KOTŁÓW W WARSZAWIE.

1. Warszawa (18 do 30 stycznia 1926 r.)

Wykłady trwały od 18 do 30 stycznia 1926 r. włącznie w sali Państwowej Szkoły Budownictwa Wspólna 81. Słuchaczy było 59.

Dn. 24.I. r. b. w niedzielę, zwiedzono kotłownię Elektrowni Miejskiej na Leszczyńskiej, dla zaznajomienia słuchaczy z nowoczesnymi urządzeniami kotłowni i objaśnienia im sposobu obsługi kotłów podczas pracy.

Wykłady ilustrowane były przezroczami. Egzamin dla palaczy przy kotłach ładowych odbyły się na stacji Filtrów w Warszawie; dla palaczy na kotłach statkowych egzamin odbył się na pokładzie statku „Batory”, na przystani, na Solcu; egzamin 16 palaczy pracujących na dragach nastąpi po uruchomieniu drag (czerpaków).

Z *wynikiem bardzo dobrym* zdali egzamin pp.: 1) Jarosiński Jan, 2) Kłós Antoni, 3) Kosobudzki Jerzy, 4) Kwiatkowski Franciszek, 5) Stachurski Andrzej, 6) Załoga Zygmunt.

Z *wynikiem dobrym*: 1) Błaszczak Wacław, 2) Buchwajc Antoni, 3) Cegiełka Jan, 4) Chudzyński Wacław, 5) Kociszewski Józef, 6) Kowalik Ksawery, 7) Ostrowski Paweł, 8) Sich Stanisław.

Z *wynikiem dostatecznym*: 1) Bagadziński Jan, 2) Biela-kowski Adam, 3) Bugalski Kazimierz, 4) Ciesielski Władysław, 5) Godlewski Antoni, 6) Januszewski Jan, 7) Kędra Jan, 8) Kordjalik Bronisław, 9) Lipiński Józef, 10) Maroszek Jan, 11) Oleszczuk Aleksander, 12) Osiński Antoni, 13) Pakulski Jan, 14) Ry-siewicz Franciszek, 15) Skorupka N., 16) Szewczyk Antoni 17) Wrzosek Stanisław, 18) Zawadzki Tomasz.

Do powtórnego egzaminu zadeklarowano czterech palaczy.

2. Warszawa (od 8 do 20 lutego 1926 r.)

Ze względu na zbyt wielką ilość zgłaszających się na dwutygodniowe kursy dla palaczy, Stow. Doz. Kotłów oprócz kur-

sów od 18 do 30 stycznia r. b. zorganizowało powtórny kurs w Warszawie który trwał od 8 do 20 lutego r. b.

Na wykłady te zgłosiło się 67 słuchaczy, z których czterech z powodu choroby uczęszczać na nie nie mogło.

Słuchacze zwiedzili w dn. 14.II. r. b. kotłownię Elektrowni Miejskiej przy ul. Leszczyńskiej. Dn. 21 i 22.II. słuchacze zostali poddani egzaminowi który zdali:

a) z *wynikiem bardzo dobrym*: 1) Bączek Stefan, 2) Dankowski Sylwester, 3) Dębecki Tomasz, 4) Majewski Szczepan, 5) Miszewski Józef, 6) Osiński Stanisław, 7) Pęczonek Władysław.

b) z *wynikiem dobrym*: 1) Cieśliński Stanisław, 2) Cwił Józef, 3) Kuliński Władysław, 4) Miernicki Stanisław, 5) Oleskiński Jan, 6) Olszewski Józef, 7) Podlaski Antoni, 8) Różga Andrzej, 9) Suwała Stanisław, 10) Sypuła Marjan, 11) Lewandowski Antoni, 12) Mazuś Stefan, 13) Długocki Stanisław.

c) z *wynikiem dostatecznym*: 1) Bokusza Józef, 2) Gabler Adolf, 3) Gontarczyk Jan, 4) Kacprzak Jan, 5) Kielbasiński Franciszek, 6) Kozłowski Jan, 7) Lucerski Teofil, 8) Marczak Edward, 9) Miśsak Walenty, 10) Milewski Stanisław, 11) Ogonek Antoni, 12) Podhorodecki Kazimierz, 13) Piekut Antoni, 14) Redłowski Aleksander, 15) Ruciński Michał, 16) Sarnecki Bolesław, 17) Stiller Karol, 18) Szlenker Fryderyk, 19) Szymański Jan, 20) Tokarski Józef 21) Trepkowski Józef, 22) Wrześniński Michał, 23) Żywicki Maciej, 24) Majewski Stefan.

d) do powtórnego egzaminu zakwalifikowano pięciu palaczy

e) nie stawiło się do egzaminów 4 słuchaczy

f) ze względu na niemożność uruchomienia kotłów statkowych egzamin, dla 10 palaczy kotłów statkowych odłożono do czasu uruchomienia statków.

POLEMIKA.

Z powodu art.: TS. *W sprawie zmniejszenia kosztów wytwórczości*, por. *Technika Ciepła* 1926 str. 7.

Szanowny Panie Redaktorze!

Czytelnik, który niema doświadczenia w krytycznym odczytywaniu bilansów ciepłych kotłów parowych, oraz, na zasadzie osobistego doświadczenia, nie posiada kryterjum w ocenie tych badań, po przeczytaniu artykułu „*W sprawie zmniejszenia kosztów wytwórczych*“^{*)}, podpisanego przez p. T. S., niewątpliwie wysnuje wniosek, że, chcąc obniżyć koszt pary, należy koniecznie instalować na miał paleniska „Wotan“ z podwiewem.

W rzeczywistości tak nie jest.

Przedewszystkiem należy podkreślić, że przytoczone w pow. artykule rezultaty prób nie dają materiału do wysnucia konkretnych wniosków, brak w nich bowiem elementarnych danych niezbędnych przy ocenie prób kotłowych, a więc ciągu, przed zasuwą dymową, temperatur gazów kominowych i t. p., liczne zaś doświadczenia z kotłami uczą nas, że korzystnie daje się spalać na rusztach z podwiewem tylko miał lichego gatunku, miał zaś o wartości opałowej 5789 kal z zawartością popiołu 10,56%, zaliczamy do miałów lepszych, które korzystniej spalają się, przy *dostatecznym ciągu kominowym*, bez podwiewu.

Zwracam uwagę, że na obniżenie kosztu pary przy próbach,, o których mowa, wpłynęła głównie cena węgla, która dla gatunku groszek wynosi 33,3, dla miału zaś 16,4, a nie zwiększenie skutku użytecznego kotła o 3,5%, co niewątpliwie z łatwością dało by się osiągnąć i przy starannem paleniu ręcznem.

Należy również uwzględnić rozchód energii na poddmuch, o czem w ocenie rezultatów mowy niema, a co wraz ze zwiększeniem przy dmuchawkowych paleniskach stratami kominowemi, pochłonnie niewątpliwie owe zaoszczędzone 3,5%.

Celem niniejszego jest ostrzeżenie przed artykułami, które będąc odczytywane po większej części przez nie specjalistów, mogą prowadzić do całkiem mylnych wniosków i naraża właści-cieli małych zwłaszcza przedsiębiorstw, nie posiadających należycie wyszkolonego personelu technicznego, na duże straty.

Łącząc wyrazy szacunku i poważania, prosilibym o sprostowanie artykułu o którym mowa w myśl przytoczonych twierdzeń, zdobytych dużą praktyką.

Inż. B. w S.

Zarzut postawiony przez p. inż. B., iż artykuł p. t. „*W sprawie zmniejszenia kosztów wytwórczych*“ umieszczony w Nr. 1 *Techniki Ciepłej* pragnie dowieść, że chcąc obniżyć koszt pary należy koniecznie stosować paleniska z podwiewem jest niesłuszny.

W wymienionym artykule wskazano na to, że przejście lepszych gatunków węgla na gorsze, a tem samem tańsze, przynosi korzyści finansowe, nawet wówczas jeśli osiągnięcie tego połączone jest z jednorazowym wydatkiem inwestycyjnym, który zresztą w krótkim czasie amortyzuje się dzięki osiągniętej oszczędności.

Jeśli spalanie gorszych gatunków opału jest możliwe bez zmiany instalacji, to oczywiście każdy mogąc spalać węgiel tańszy nie będzie kupował drogiego, sortowanego węgla.

Spalanie droższych gatunków opału wynika z konieczności utrzymania ciśnienia w kotle na wymaganej wysokości, oraz wyprodukowania odpowiedniej ilości pary. Gdyby się chciało spalać miał na tem samem palenisku, to okazałoby się, że w wielu wypadkach, jak to słusznie autor notatki zaznacza, stałby temu na przeszkodzie niedostateczny ciąg kominowy.

W sprawie kosztów podwiewu (a nie gmuchawek) zaznaczyć wypada, że energia, zużywana przez napęd wentylatora dochodzi do 1% produkowanej pary, co szczególnie w wypadku omawianym w artykule jest bez znaczenia, albowiem chodzi tu o farbarnię w której cała para z maszyny pracującej z przeciwnieniem zużyta zostaje do celów fabrykacyjnych.

Wreszcie całe sprawozdanie nie miało charakteru bilansu ciepłego porównawczego dla dwóch typów palenisk, co było w artykule podkreślone, natomiast chodziło o porównanie dwóch bilansów finansowych.

Racz przyjąć Szanowny Panie Redaktorze wyrazy szacunku i poważania.

Inż. R. Biedrzycki.

*) *Technika Ciepła* № 1 rok 1926 str. 7.